

А. С. КЕЛЬЗОН, В. И. ЯКОВЛЕВ

ПЕРЕХОД ЧЕРЕЗ ЗОНУ АВТОКОЛЕБАНИЙ ВЕРТИКАЛЬНОГО  
ВАЛА С УЧЕТОМ СИЛ ИНЕРЦИИ СМАЗКИ

(Представлено академиком Л. И. Седовым 11 I 1971)

Исследование устойчивости вертикального ротора, установленного в упругие подшипники скольжения с учетом сил инерции смазки. Пусть исходная система имеет симметричный жесткий ротор массой  $m$  в двух одинаковых подшипниках скольжения с цилиндрической расточкой вкладыша. При возникновении автоколебаний в зоне повышенных скоростей вращения подшипники располагаются на двух одинаковых изотропных втулках колебаний безмассовых упругих опорах, каждая из которых имеет массу  $\frac{1}{2}m$  и некоторый приведенный коэффициент демпфирования

Под действием сил смазочного слоя  $P_e$  и  $P_\phi$  уравнения движения системы в безразмерном времени  $t = \omega t$  примут вид <sup>(1)</sup>

$$\begin{aligned} m\omega^2\ddot{x}_1 + \chi\omega\dot{x}_1 + cx_1 &= 0, & m\omega^2\ddot{y}_1 + \chi\omega\dot{y}_1 + cy_1 &= 0, \\ \chi\omega\dot{x}_1 + cx_1 &= 2(P_e \cos \varphi + P_\phi \sin \varphi), \\ \chi\omega\dot{y}_1 + cy_1 &= 2(P_e \sin \varphi - P_\phi \cos \varphi), \end{aligned} \quad (1,1)$$

где  $x_1$  и  $y_1$  — радиальная касательная составляющая сил смазочного слоя

используемая для получения выражений гидродинамических сил  $P_e$  и  $P_\phi$  А. Т. Полецкого <sup>(2)</sup>, которая позволяет учесть влияние сил инерции смазки. При этом будем полагать, что для вертикального ротора можно принять круговой охват цапфы смазочным слоем.

После необходимых преобразований согласно <sup>(2)</sup>, получим

$$P_e = m\omega^2 \left[ \frac{2\pi\rho r^2 L}{\psi m} (\ddot{\chi} - \chi\dot{\varphi}^2) \ddot{\xi}(\chi) + \frac{2\pi\rho r^2 L}{\psi m} \chi \dot{\Psi} \ddot{\xi}(\chi) + \frac{12\mu L}{m\omega\psi^3} \chi \frac{\pi}{(1-\chi)^{3/2}} \right], \quad (1,2)$$

$$\begin{aligned} P_\phi = m\omega^2 \delta \left[ -\frac{2\pi\rho r^2 L}{\psi m} (\ddot{\chi}\dot{\varphi} + 2\dot{\chi}\dot{\varphi}) \ddot{\xi}(\chi) + \frac{12\mu L}{m\omega\psi^3} \frac{\chi}{(2+\chi^2)\sqrt{1-\chi^2}} - \right. \\ \left. - \frac{2\pi\rho r^2 L}{\psi m} \chi \ddot{\xi}(\chi) + \frac{12\mu L}{m\omega\psi^3} H_v \chi \frac{[1+2\xi(\chi)]}{(1-\chi^2)^2} - \frac{12\mu L}{m\omega\psi^3} \chi \dot{\varphi} \frac{1+2\chi^2\xi(\chi)}{(1-\chi^2)^2} \right], \quad (1,3) \end{aligned}$$

где  $\delta = (1 - \sqrt{1 - \chi^2}) / \chi^2$ ,  $\rho$  — плотность смазки. Здесь производные по безразмерному времени  $t = \omega t$  и приняты те же обозначения, что и в <sup>(1)</sup>.

Входящее в выражение (1,3)  $H_v$  характеризует релаксационные процессы в смазочном слое при неустановившемся движении жидкости и

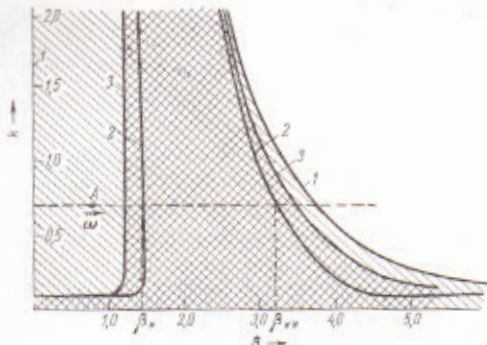


Рис. 1. Области устойчивости системы при  $D = 0,1$ : 1 —  $N = 1$ ; 2 —  $N = 2$ ; 3 —  $N = 1,5$

демпфирования опор,  $\beta = \omega / \omega_0$  — безразмерная угловая скорость вращения ротора,  $\alpha = \Omega / \omega_0$  — безразмерная частота колебаний системы на граничном

уровне устойчивости, где  $\omega^2_0 = c/m$ . Исследование устойчивости проводилось с использованием метода, аналогичного методу  $D$ -разбиения (3). В результате были получены выражения границ устойчивости и частоты колебаний системы на этой граничной

$$\beta = \frac{6\pi k a (1 - \alpha^2) - D \alpha^2 (1 + N)}{3\pi k (1 - \alpha^2) - ND \alpha^2},$$

$$\alpha_{1,2} = \frac{3\pi k (D^2 + 2N - 1 - ND^2)}{2N(3\pi k + D)} \pm$$

$$\pm \sqrt{\frac{(D^2 + 2N - 1 - ND^2)^2 \cdot 9\pi^2 k^2 - 2N \cdot 6\pi k (3\pi k + D)(N - 1)}{2N(3\pi k + D)}}.$$

Полагая в (1,4) и (1,5)  $N = 0$ , получаем

$$\alpha_{**} = 1 / \sqrt{1 - D^2}, \quad \beta_{**} = (1 + 6\pi k D) / (3\pi k D \sqrt{1 - D^2}),$$

совпадающие с полученными в (4). Используя критерий Раусса — Гурвица, можно показать, что система будет устойчива на скоростях вращения  $\beta > \beta_{**}$ . Полагая далее в (1,4) и (1,5)  $D = 0$ , получаем выражения

$$\alpha_* = 1/2\beta, \quad \beta_* = 2\sqrt{1 - 1/N},$$

совпадающие с полученными в (5). Можно показать, что в случае система устойчива при  $\beta < \beta_*$ .

Так как в реальной системе  $N \neq 0$ , и  $D \neq 0$ , то из (1,4) и (1,5) следует, что существует ограниченная сверху и снизу зона автоколебаний ротора, ширина которой существенно зависит от конструктивных постоянных системы ротор — подшипники — опоры:  $k$ ,  $N$  и  $D$ .

На рис. 1 построены границы устойчивости ротора в плоскости параметров  $[k\beta]$ . На графиках области неустойчивости заштрихованы. При этом ротор имеет некоторую конструктивную постоянную  $k = k_0$ . При увеличении скорости вращения изображающая точка  $A$  будет двигаться в плоскости параметров  $[k\beta]$  по пунктирной прямой (рис. 1). При этом потеря устойчивости ротора на некоторой скорости вращения  $\beta_*$ , отличной от нуля, еще не означает, что при дальнейшем увеличении скорости вращения не возможна работа ротора в устойчивом режиме. Ширина зоны устойчивости, как это видно из рис. 1, существенно зависит от величины  $N$ , увеличение которой приводит к сужению этой зоны, уменьшение — к ее расширению.

Обратимся к исследованию устойчивости линеаризованной системы, получаемой из исходной путем удержания линейных членов относительно  $\chi$ ,  $H_v$  и их производных. Основной целью анализа устойчивости является определение границ устойчивости в плоскости каких-либо параметров системы. Нами были использованы, в отличие от параметров:  $k = 4\mu L / (m \omega_0^2)$ , характеристическая постоянная Тондля (6),  $D = \kappa / (m \omega_0^2)$ , безразмерный коэффициент

, а при малых значениях  $k$  даже и к полному исчезновению устойчивости.

С другой стороны, увеличение безразмерного коэффициента демпфирования  $D$  также благоприятно сказывается на сужении зоны автоколебаний. Однако трехмерное демпфирование может снова привести к расширению зоны устойчивости и, как следует из выражения (1,6), нежелательно.

На границы зоны устойчивости, представленных на рис. 2, следует помнить, что увеличение постоянной  $N$ , учитывающей влияние сил инерции, приводит к сужению зоны автоколебаний как слева, так и справа.

Таким образом, анализ устойчивости показывает, что увеличение конструктивных параметров  $k$ ,  $N$  и  $D$  может привести к сужению зоны автоколебаний

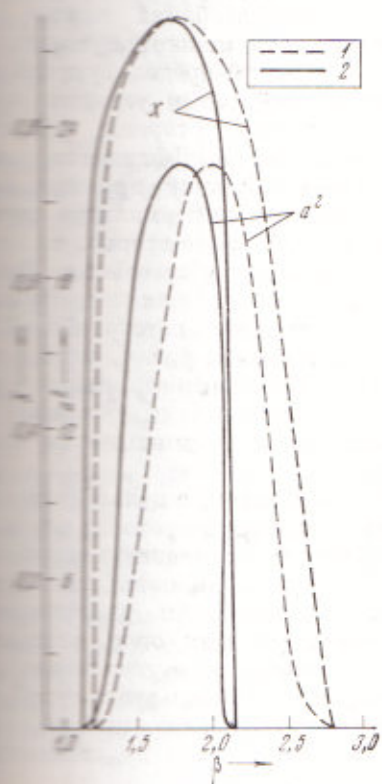


Рис. 2

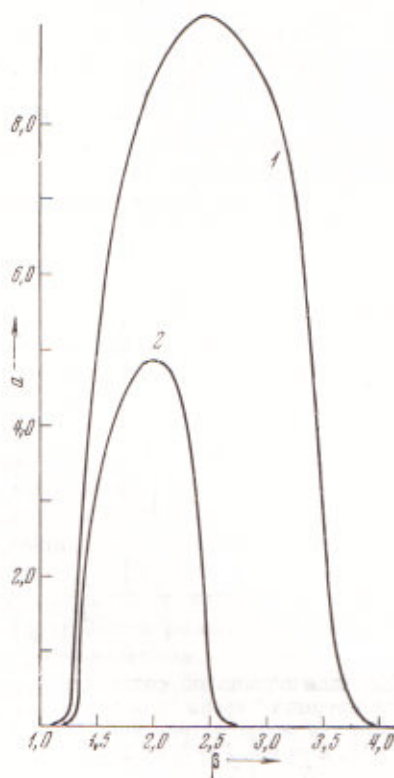


Рис. 3

Рис. 2. Влияние характеристической постоянной  $k$  на сужение зоны автоколебаний при  $N = 1,5$ ,  $D = 0,2$ . 1 —  $k = 0,5$ ; 2 —  $k = 5,0$

Рис. 3. Влияние относительного коэффициента демпфирования опор  $D$  на амплитуду и ширину их зоны при  $k = 0,5$ ,  $N = 1,5$ . 1 —  $D = 0,1$ ; 2 —  $D = 0,2$

автоматов, при которых возможен легкий переход через нее и обеспечение устойчивой работы ротора на скоростях, в несколько раз превышающих рабочие для того же ротора на жестких подшипниках скольжения.

2. Автоколебания ротора. В силу круговой симметрии среди линейных уравнений (1,1)–(1,3) будем отыскивать, следуя <sup>(6)</sup>, класс стационарных автоколебаний, соответствующих установившейся асинхронной вибрации, т. е. круговому движению оси вала с постоянными амплитудами и угловой скоростью вращения  $\Omega$ , не совпадающей со скоростью вращения <sup>(1)</sup>. Следуя <sup>(1)</sup>, решение задачи приводится к решению системы нелиней-

ных алгебраических уравнений (2,1):

$$\alpha^2 = \frac{\chi^2 (1 + D^2 \alpha^2)^2}{(1 - \alpha^2 + D^2 \alpha^2)^2 + D^2 \alpha^6},$$

$$\left[ \frac{(1 + D^2 \alpha^2)(1 - \alpha^2 + D^2 \alpha^2 + D^2 \alpha^4)}{(1 - \alpha^2 + D^2 \alpha^2)^2 + D^2 \alpha^6} - 1 \right] = 2N (\beta \alpha - \alpha^2) \xi(\chi),$$

$$\frac{D \alpha^5 (1 + D^2 \alpha^2)}{(1 - \alpha^2 + D^2 \alpha^2)^2 + D^2 \alpha^6} = \frac{6 \pi k}{(2 + \chi^2) \sqrt{1 - \chi^2}},$$

где  $\alpha = A/\delta$  — безразмерная амплитуда автоколебаний.

Результаты решения иллюстрируются рис. 2, 3, 4. На рис. 2 показано влияние характеристической постоянной  $k$  на форму кривых  $a = f(\beta)$ .

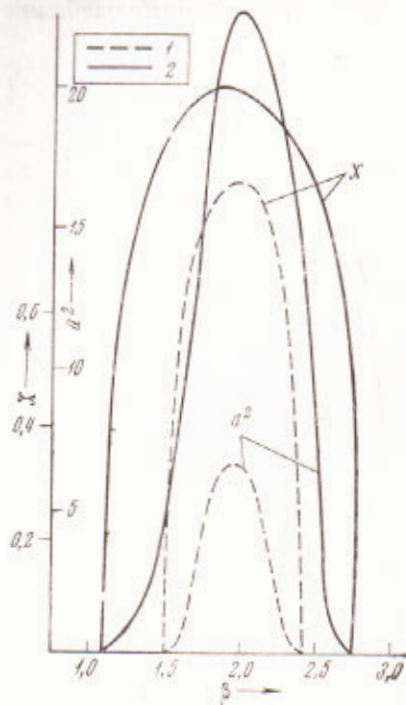


Рис. 4. Влияние локальной составляющей сил инерции смазки на амплитуду и ширину зоны автоколебаний при  $D = 0,2$ ,  $k = 0,5$ . 1 —  $N = 2$ ; 2 —  $N = 1,5$

Ленинградское высшее инженерное морское училище  
им. С. О. Макарова

Поступило  
11 I 1971

#### ЦИТИРОВАННАЯ ЛИТЕРАТУРА

- <sup>1</sup> А. С. Кельзон, В. И. Яковлев, ДАН, 193, № 4 (1970). <sup>2</sup> А. Г. Полеткий, Сборн. Трение и износ в машинах, в. 17, Изд. АН СССР, 1962. <sup>3</sup> Ю. И. Недмарк, Устойчивость линеаризованных систем (дискретных и распределенных), Л., 1949. <sup>4</sup> Э. Л. Позняк, Изв. АН СССР, ОТН, Механика, № 3 (1965). <sup>5</sup> В. Г. Олимпиев, Изв. АН СССР, ОТН, Механика и машиностроение, № 2 (1966). <sup>6</sup> А. Tondl, Some Problems of Rotor Dynamics, Praha — London, 1965. <sup>7</sup> А. А. Айдронов, А. А. Витт, С. Э. Хайкин, Теория колебаний, «Наука», 1959. <sup>8</sup> В. Е. Болотин, Сборн. Проблемы прочности в машиностроении, в. 1, Изд. АН СССР, 1958. <sup>9</sup> А. С. Кельзон, В. И. Прядилов, Авт. свид. № 482968, Изобретения пром. образцы, товарные знаки, № 12 (1966).